

Ising-Modell

Computational Physics Praktikum WS24/25

Sascha Eckstein, Jannis Hollmann
Version 1

Inhaltsverzeichnis

1	Aufgabe 1	3
1.1	Aufgabe 1a: Bestimmung von π	3
1.2	Aufgabe 1b: Monte-Carlo-Integration	3
2	Aufgabe 2	3
3	Aufgabe 3	4
3.1	Aufgabe 3a: 128x128-Gitter	5
3.2	Aufgabe 3b: Observablen bei kleineren Spingittern	7
4	Aufgabe 4	7
4.1	Aufgabe 4a: Simulation mit Wärmebad-Algorithmus	7
4.2	Aufgabe 4b: Untersuchung der Hysterese	9
4.3	Aufgabe 4c: Phasendiagramm in Abhängigkeit von β und h	9

1 Aufgabe 1

1.1 Aufgabe 1a: Bestimmung von π

In dieser Aufgabe sollte der Wert von π mittels Monte-Carlo-Simulation ermittelt werden. Hierzu betrachtet man den ersten Quadranten eines 2d Koordinatensystems. In dem Koordinatensystem befinden ein Einheitskreis sowie ein Einheitsquadrat, letzteres mit Mittelpunkt $(0.5, 0.5)$. Es werden nun zufällig Punkte im Quadrat platziert. Die Punkte werden kategorisiert, je nachdem, ob $x^2 + y^2 < 1$ für den jeweiligen Punkt erfüllt ist oder nicht, also ob sich die Punkte im Einheitskreis befinden oder nicht. Wir betrachten nun das Flächenverhältnis des Einheitskreises und des Einheitsquadrats:

$$\frac{A_{\text{Viertelkreis}}}{A_{\text{Einheitsquadrat}}} = \frac{\frac{1}{4}\pi r^2}{1} = \frac{\pi r^2}{4} \stackrel{\text{hier}}{=} \frac{\pi}{4} \quad (1)$$

$$\pi = \frac{A_{\text{Viertelkreis}}}{A_{\text{Einheitsquadrat}}} \cdot 4. \quad (2)$$

Das Verhältnis $A_{\text{Viertelkreis}}/A_{\text{Einheitsquadrat}}$ haben wir numerisch bestimmt: Es entspricht dem Verhältnis der Anzahl Punkte im Kreis/außerhalb des Kreises. Ein Vergleich der Ergebnisse bei verschiedenen Stichprobengrößen ist in Abb. 1 dargestellt.

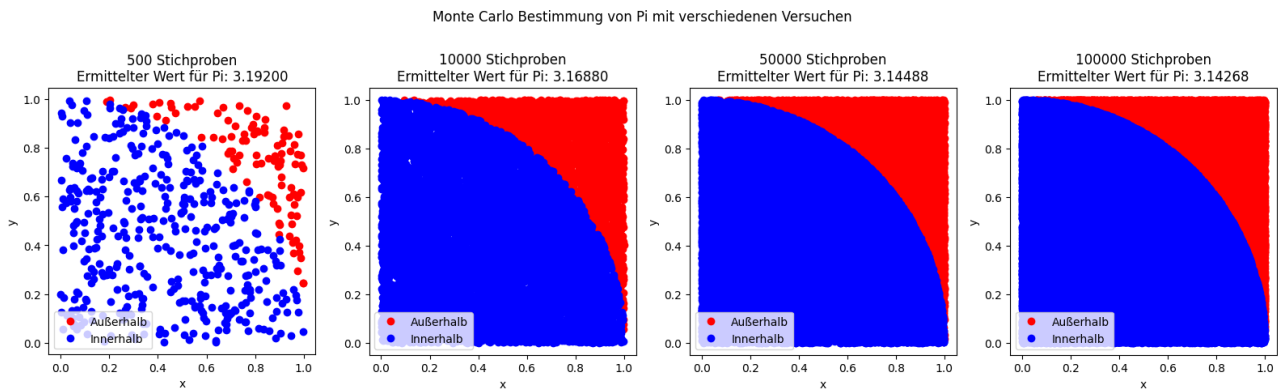


Abbildung 1: Ermittlung von π mittels Monte-Carlo

1.2 Aufgabe 1b: Monte-Carlo-Integration

In dieser Teilaufgabe sollte mit einem Zufallszahlengenerator für normalverteilte reelle Zahlen mittels Monte-Carlo-Integration das folgende Integral berechnet werden:

$$\int_{-\infty}^{\infty} \exp(-t^2/2) dt \quad (3)$$

Hierzu werden zunächst n normalverteilte Samples gezogen, dann wird der Integrand bei diesen Samples ausgewertet und dann über die Resultate summiert und anschließend durch die Anzahl Samples n dividiert. Zur korrekten Normierung muss noch mit $2\sqrt{\pi}$ multipliziert werden. Die berechneten Werte sind in Tab. 1 dargestellt. Wie man sieht, nähern sie sich dem erwarteten Ergebnis $\sqrt{2\pi} = 2.506628$ immer weiter an.

Anzahl Samples	Resultat
1000	2.484868
100000	2.507152
1000000	2.506488
100000000	2.506537

Tabelle 1: Ergebnisse des Integrals für verschiedene Samplezahlen

2 Aufgabe 2

In dieser Aufgabe sollten für 2d-Gitter der Größe $L = 2, 3, 4$ ohne externes Magnetfeld $h = 0$ die innere Energiedichte sowie $\langle m \rangle$ und $\langle |m| \rangle$ als Funktion der inversen Temperatur $\beta \in [0, 1]$ durch direkte Summe über alle

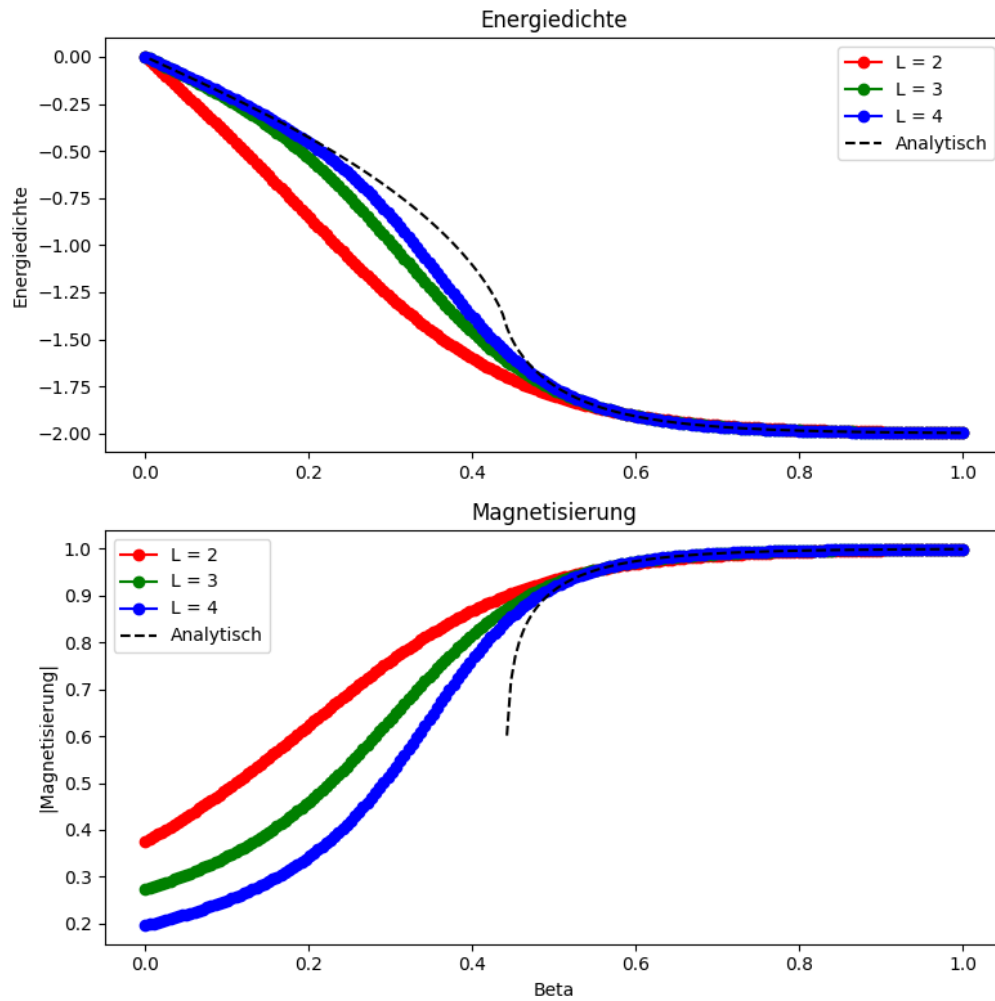


Abbildung 2: Energiedichte und Magnetisierung für kleine Gitter

Konfigurationen berechnet werden. Zudem sollten die Ergebnisse mit den analytischen Vorhersagen verglichen werden. Die Ergebnisse von $\langle m \rangle$ waren wie erwartet 0 bzw. sehr nahe an null, da ohne externes Magnetfeld keine Magnetisierung entsteht. Die kleinen Abweichungen von 0 lassen sich durch float-Ungenauigkeiten bei der Berechnung erklären. Die numerischen und analytischen Ergebnisse sind in Abb. 2 dargestellt. Die analytische Lösung der Magnetisierung beginnt erst bei etwa 0.44, da dies die Curie-Temperatur ist, oberhalb welcher keine Magnetisierung möglich ist.

3 Aufgabe 3

Zur Vorbereitung von Aufgabe 3 sollen selbst ermittelt werden, mit welchen multihit-Parametern die Thermalisierung bei welcher Anzahl von Thermalisierungsschritten N_{therm} abgeschlossen ist. Hierzu wurden für verschiedene β zufällige Gitter erzeugt und thermalisiert und dabei pro Schritt die Energiedichte berechnet. Am Plot in Abb. 3 sieht man, dass die Thermalisierung bei etwa 3000 Schritten abgeschlossen ist. Da dieser Punkt statistisch schwankt, werden für die weiteren Berechnungen 4000 Thermalisierungsschritte durchgeführt.

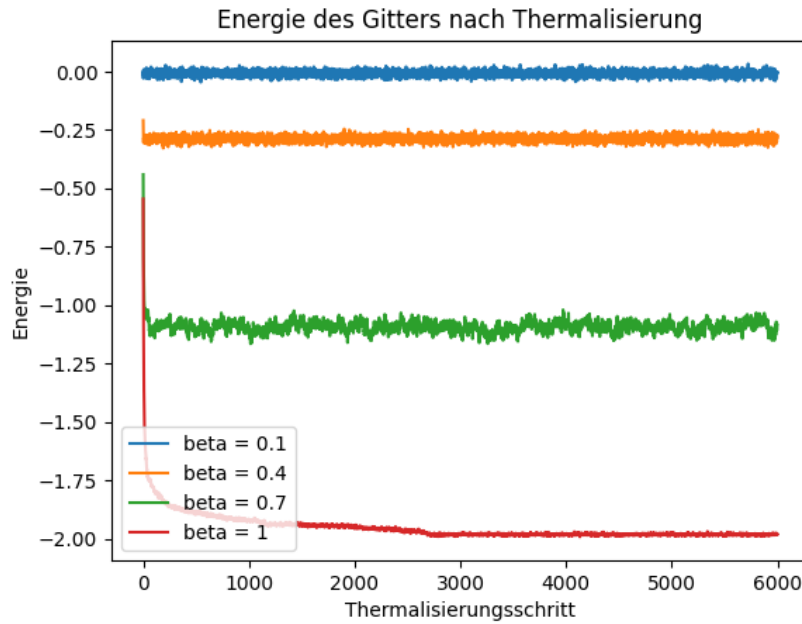
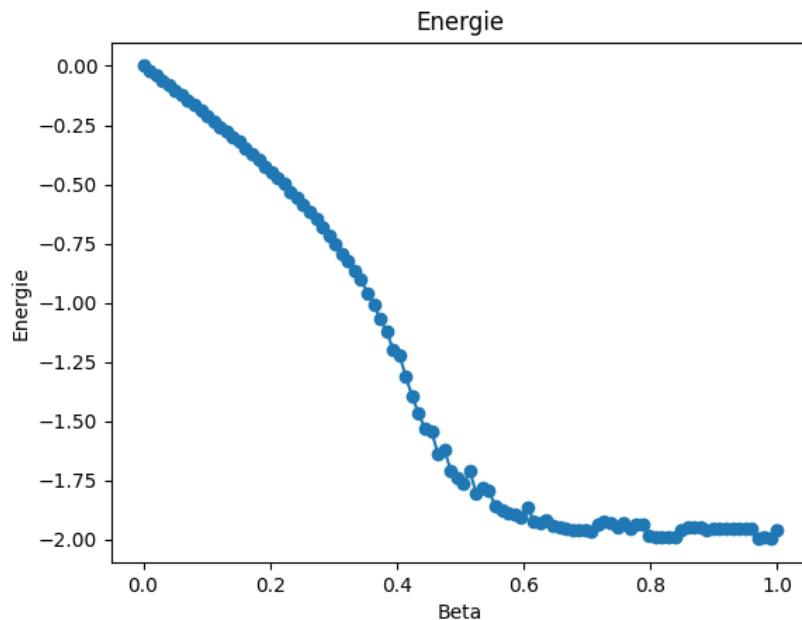
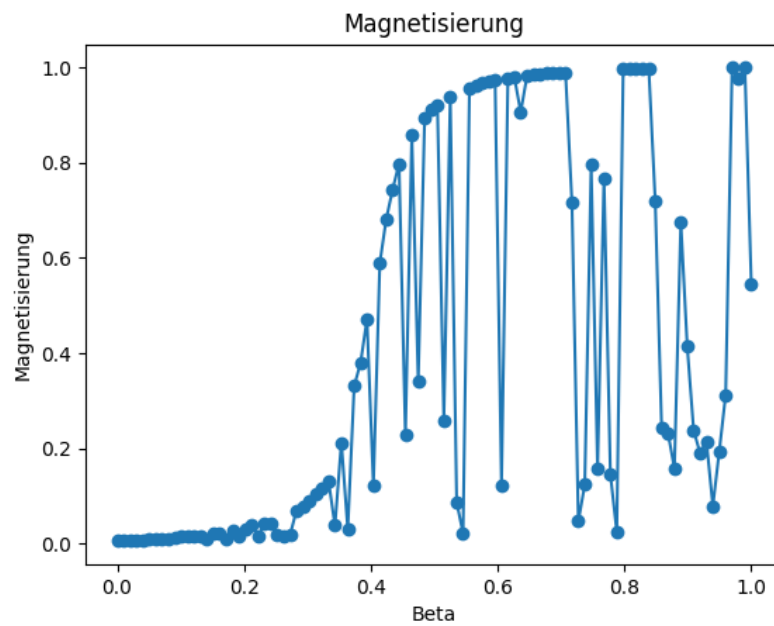
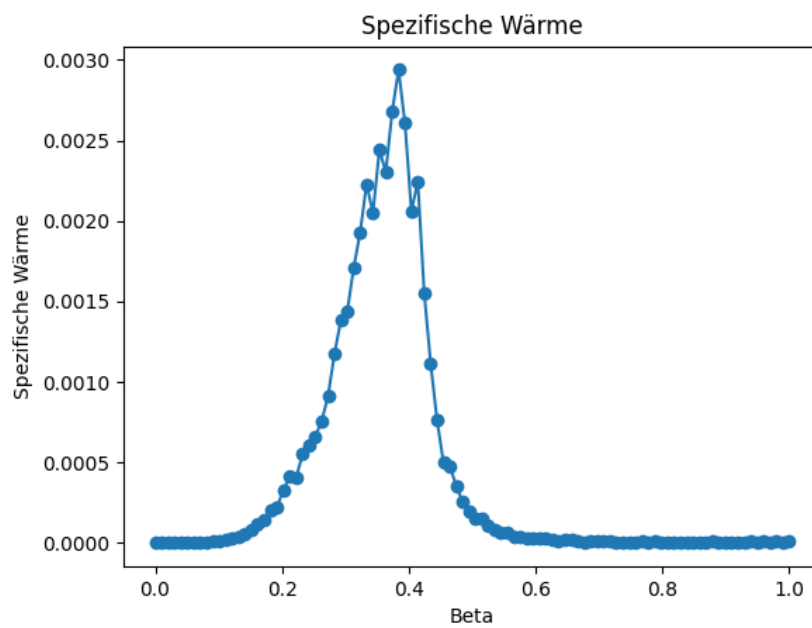


Abbildung 3: Energiedichte im Verlauf der Thermalisierungsschritte

3.1 Aufgabe 3a: 128x128-Gitter

In Aufgabe 3a wurde der Multihit-Metropolis-Algorithmus implementiert. Hierbei werden nicht alle möglichen Spingitter betrachtet, sondern zufällige Gitter erzeugt und dann anhand des Metropolis-Algorithmus physikalisch sinnvoll verändert. Dann wurden die Observablen Energie und Magnetisierung bestimmt und daraus die spezifische Wärme berechnet. Dies wird für 100 verschiedene Werte von $\beta \in [0, 1]$ wiederholt. Die Anzahl der sweeps N_{sweep} betrug hierbei 100. Die Ergebnisse sind in den Abbildungen 4, 5 und 6 dargestellt.

Abbildung 4: Energie in Abhängigkeit von β (Metropolis)

Abbildung 5: Magnetisierung in Abhängigkeit von β (Metropolis)Abbildung 6: Spezifische Wärme in Abhängigkeit von β (Metropolis)

3.2 Aufgabe 3b: Observablen bei kleineren Spingittern

Für die zweite Teilaufgabe sollte $\beta = 0.4406868$ gesetzt werden. Dann sollten die Observablen Energie, $\langle |m| \rangle$ sowie $\langle m^2 \rangle$ bestimmt werden, wobei $N_{\text{sweep}} = 200\,000$ betragen sollte. Die Simulation sollte auf Gittern der Größe (4×4) , (8×8) und (32×32) durchgeführt werden. Die Ergebnisse dieser Simulation sind in Tabelle 2 aufgeführt. Verglichen mit den Werten, die durch direkte Summation für das (4×4) -Gitter bestimmt wurden,

Observable	(4×4)	(8×8)	(32×32)
Energie	-1.592 50	-1.555 62	-1.538 55
$\langle m \rangle$	0.841 25	0.819 69	0.817 54
$\langle m^2 \rangle$	0.763 90	0.693 92	0.670 72

Tabelle 2: Ergebnisse der Simulation für verschiedene Gittergrößen

stimmen die Werte sehr gut überein. Diese betragen:

$$\begin{aligned}
 E &= -1.565\,62 \\
 \langle |m| \rangle &= 0.843\,86 \\
 \langle m^2 \rangle &= 0.761\,35.
 \end{aligned} \tag{4}$$

4 Aufgabe 4

4.1 Aufgabe 4a: Simulation mit Wärmebad-Algorithmus

Zunächst sollten die Simulationen, die in Aufgabe 3 durchgeführt wurden, für den Wärmebad-Algorithmus wiederholt werden. Die Ergebnisse der Wärmebad-Simulation sind in den Abbildungen 7, 8 und 9 dargestellt.

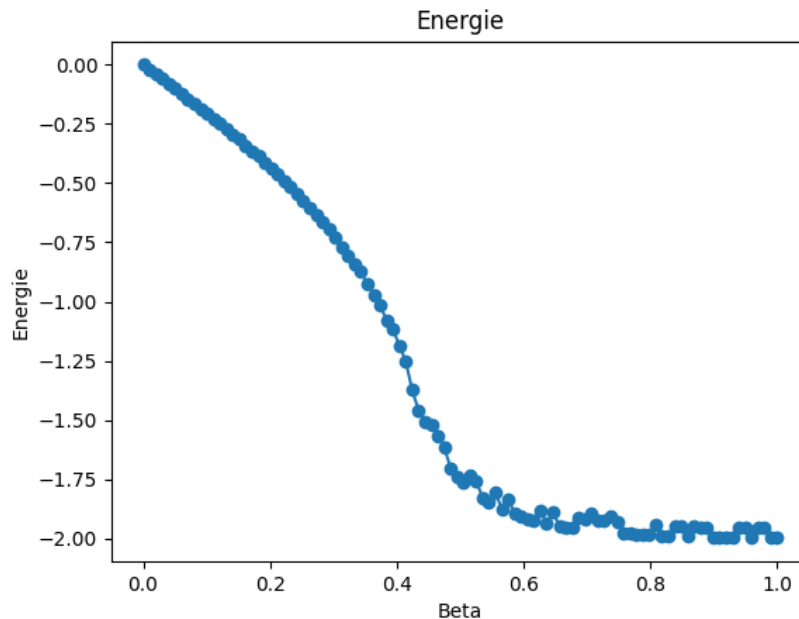


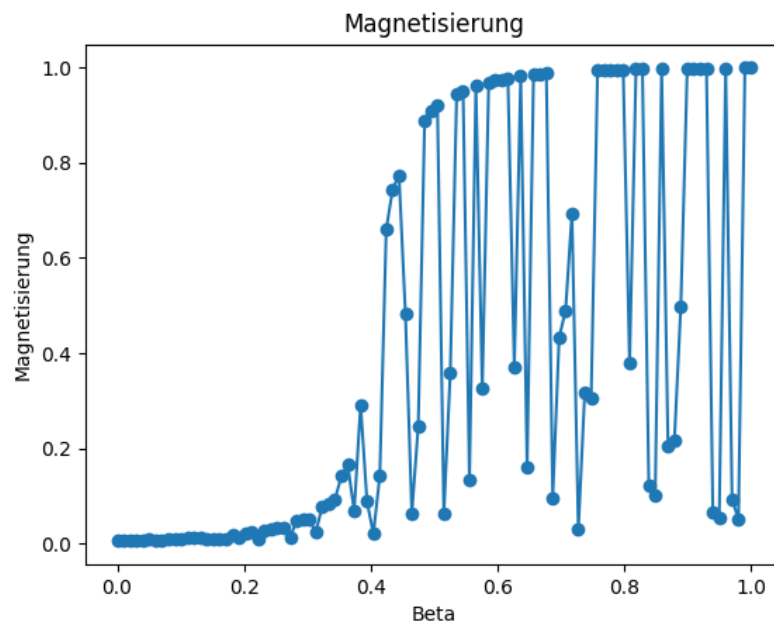
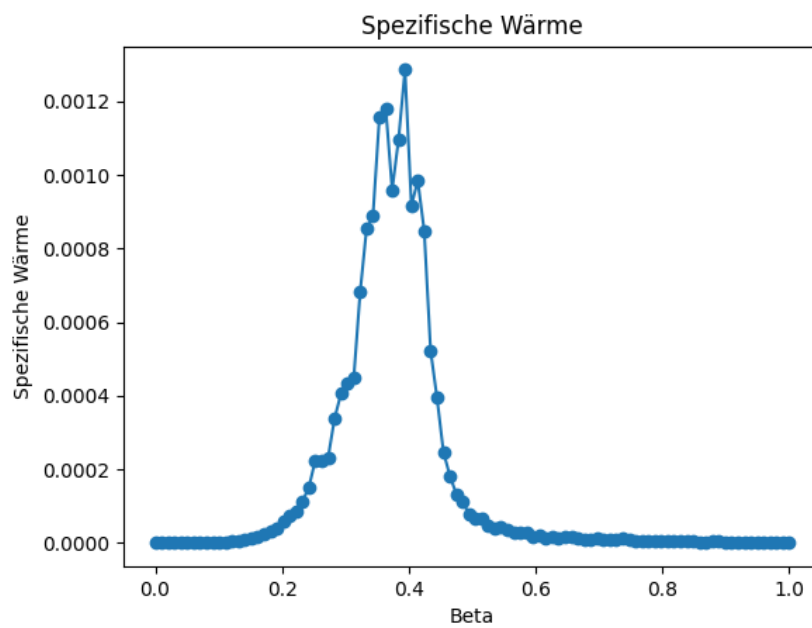
Abbildung 7: Energie in Abhängigkeit von β (Wärmebad)

Auch die Berechnung der Observablen Energie, $\langle |m| \rangle$ sowie $\langle m^2 \rangle$ wurden erneut berechnet. Sie werden in Tab. 3 dargestellt. Auch hier stimmen die Werte wieder gut mit den Ergebnissen der direkten Summation siehe (4)

Observable	(4×4)	(8×8)	(32×32)
Energie	-1.566 58	-1.489 29	-1.434 09
$\langle m \rangle$	0.844 71	0.775 62	0.654 44
$\langle m^2 \rangle$	0.762 21	0.644 67	0.459 06

Tabelle 3: Ergebnisse der Simulation für verschiedene Gittergrößen

überein.

Abbildung 8: Magnetisierung in Abhängigkeit von β (Wärmebad)Abbildung 9: Spezifische Wärme in Abhängigkeit von β (Wärmebad)

4.2 Aufgabe 4b: Untersuchung der Hysterese

Zur Untersuchung der Hysterese der Magnetisierung wurde ein Spingitter bei $\beta = 0.8$ zunächst bei $h = 0$ thermalisiert. Dann wurde h zuerst in insgesamt 400 Schritten schrittweise auf 1 erhöht, dann auf -1 gesenkt und zum Schluss wieder auf 0 erhöht. Dabei wurden nach jedem Schritt 1000 sweeps durchgeführt. Die ermittelten Magnetisierungen zeigen eindeutig eine Hysterese; diese ist in Abb. 10 dargestellt.

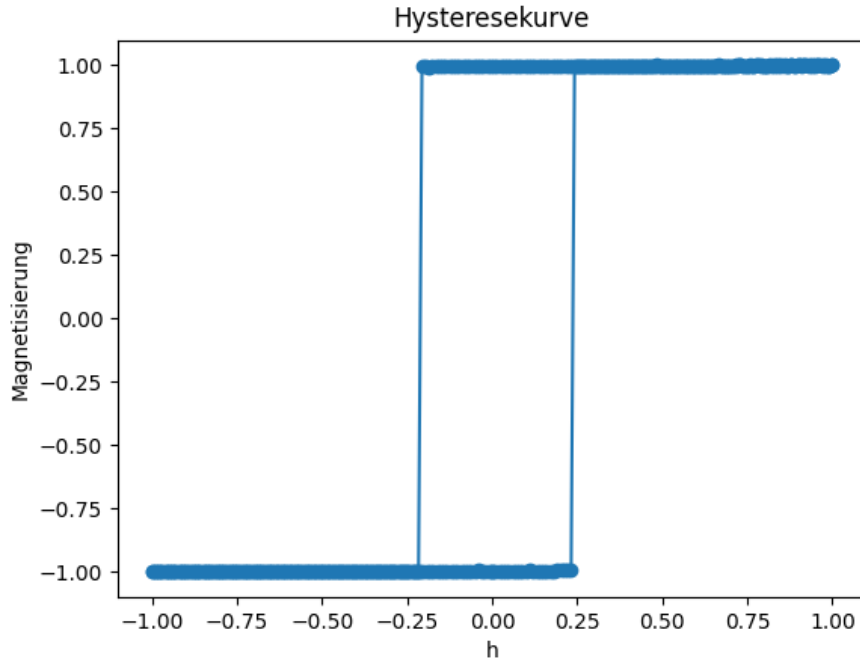


Abbildung 10: Hysteresekurve

4.3 Aufgabe 4c: Phasendiagramm in Abhängigkeit von β und h

In dieser Aufgabe sollte die Magnetisierung in Abhängigkeit von sowohl h als auch β berechnet werden. Hierzu wird für je 50 Werte von $h \in [-1, 1]$ und $\beta \in [0, 1]$ ein Spingitter thermalisiert und dann die Magnetisierung ermittelt. Die Ergebnisse dieser Berechnung sind in Abb. 11 abgebildet.

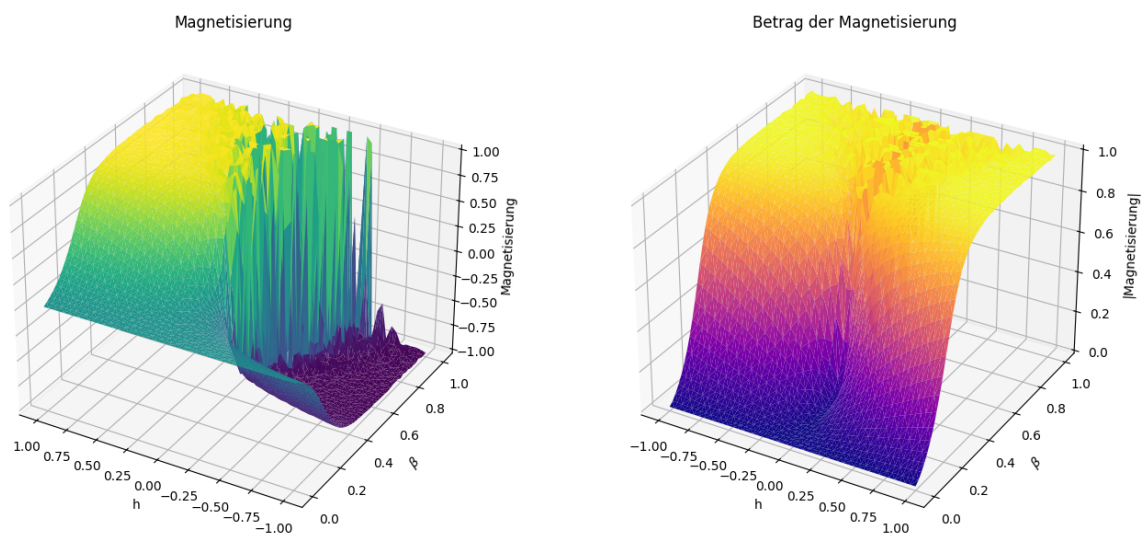


Abbildung 11: m und $|m|$ in Abhängigkeit von h und β